

高等学校教学用書

电力驱动基础

上 册

苏联 B. П. 安德列耶夫等著

水利电力出版社

高等学校教學用書

電力驅動基礎

上 冊

苏联 B. П. 安德列耶夫 Ю. А. 薩比寧著

鍾兆琥譯

苏联高等教育部工業和机器制造学校管理总局审定
作为动力和电工院系参考教材

水利电力出版社

内 容 提 要

本書介紹了電力驅動理論的基本知識，並且討論了各種不同系統的電力驅動的選擇和實際應用的一系列問題。

本書是電工和動力院系學生的參考教材，但也可供從事電力驅動工作的工程師參考。

В.П.АНДРЕЕВ Ю.А.САБИНИН
ОСНОВЫ ЭЛЕКТРОПРИВОДА
ГОСЭНЕРГОИЗДАТ МОСКВА 1956

電 力 驅 动 基 础

上 册

根据苏联国立动力出版社1956年莫斯科版翻譯

鍾 兆 瑞譯

*

1084 D 317

水利电力出版社出版(北京西郊科学路二里沟)

北京市書刊出版發售業許可證出字第105号

北京市通州区印刷厂印刷 新华书店發行

*

787×1092 1/16开本 * 20¹/4印張 * 443千字 * 定价(第10类)2.50元

1959年5月北京第1版

1959年5月北京第1次印刷(0001—7,180册)

序

现代电力驱动只能理解为自动化的电力驱动。这本书既然是研究现代电力驱动的，所以把它称为“自动化电力驱动基础”，应该是更加准确一些。但是，考虑到高等工业学校的教学大纲中这门课程仍旧保持了原有名称——“电力驱动基础”，所以书本也仍用这个书名。

发展生产过程和工艺过程的主要趋势在目前就是提高劳动生产率的斗争，而这一斗争是依靠增加工具机工作机构的运动速度并增加作用在工作机构上的应力来实现的。这种情况提高了对电力驱动的要求，从而使本书作者对电力驱动过渡历程的计算与分析等问题，以及对绘制负荷图和速度调整等问题，加以更多的注意。

由于篇幅所限，著者就不可能在书中编入一些数字的例子，来说明理论叙述。因此，每一章都用计算程序的指示来结束，使得读者更易掌握书中所包括的材料并加以实际应用。

本书内容符合苏联高等教育部为多科性工学院、动力学院和电工学院的相应专业所批准的“电力驱动基础”课教学大纲。

在编写本书时，著者曾利用了“工业企业电力设备”教研组的丰富的科学及教学经验，也利用了该教研组创始人，技术科学博士 В. К. 波波夫教授的著作。

本书第一章、第二章、第三章、第五章和第七章是由 П. А. 安德烈耶夫所写，第四章、第六章、第八章、第九章及第十章是由 Ю. А. 萨比宁所写。

著者欢迎对本书提出批评和建议，这些批评和建议在本书再版时将加以考虑。来信请寄列宁格勒41，国立动力出版社列宁格勒分社（СССР, Ленинград 41, Марсово поле 1, Л. О. Госэнергоиздата）。

目 录

第一章 緒 論	1
1-1 关于电力驱动及其自动化的概念.....	1
1-2 苏联电力驱动的發展簡史.....	2
第二章 电动机的机械特性	3
2-1 概論.....	3
2-2 相对單位.....	5
2-3 直流电动机的机械特性.....	7
2-4 他激直流电动机在 $\Phi = \text{const}$ 时的机械特性.....	8
2-5 他激直流电动机在磁通減弱时的机械特性.....	26
2-6 他激直流电动机在电枢被分路时的机械特性.....	28
2-7 串激电动机的机械特性.....	84
2-8 串激电动机的复杂的人为接續圖.....	45
2-9 复激直流电动机的机械特性.....	52
2-10 发电机-电动机系统的机械特性	54
2-11 有三繞組發电机的發电机-电动机系统的机械特性	57
2-12 由串激电机組成的發电机-电动机系统的机械特性	64
2-13 复激发电机和串激电动机組成的發电机-电动机系统的机械特性	68
2-14 异步电动机的机械特性.....	72
2-15 异步电动机在对称状态下的机械特性.....	80
2-16 异步电动机的制动状态.....	88
2-17 异步电动机在不对称状态下的机械特性	100
2-18 双电动机驱动装置的机械特性	106
2-19 同步电动机的机械特性	109
2-20 从轉子方面餵電的三相整流子电动机的工作原理和構造	113
2-21 从轉子方面餵電的三相整流子电动机的机械特性	115
第三章 电力驅動的动力學基礎	119
3-1 电力驅動的运动方程式	119
3-2 靜態力矩和靜態应力的折算	125
3-3 飛輪慣量归到一个軸的折算	126
3-4 轉動慣量的試驗測定	129
3-5 移动的质量归到旋轉运动的折算以及相反的折算	132
3-6 有曲柄傳動的機構中的等值轉動慣量及等值应力的决定	134
3-7 傳動裝置中的損耗	140
3-8 电力驅動的起動時間和制動時間	146
3-9 起動和制動時間內电动机軸轉動的角度	150
3-10 电力驅動起動时的能量損耗	151
3-11 电动机制動时的能量損耗	155

3-12 电动机额定转速的选择	157
第四章 电力驱动的过渡状态	161
4-1 研究电力驱动的过渡状态和负载曲线的实际意义	161
4-2 过渡状态研究的特点	163
4-3 各种工作的静态力矩的性质	165
4-4 关于电气化机组运转稳定性基本概念	168
4-5 有直线律机械特性的电力驱动在恒定静态力矩下的过渡状态	170
4-6 有直线律机械特性的电力驱动在 $M_c = \text{const}$ 时的起动状态	176
4-7 有直线律机械特性的电力驱动在 $M_c = \text{const}$ 时的制动状态	178
4-8 有直线律机械特性的电力驱动在静态力矩随速率变化时的机械过渡状态	182
4-9 驱动的运动方程式的图解积分和图解-解析积分的基本方法。比例原则	186
4-10 有直线律机械特性的电力驱动在静态力矩与行程有关时的过渡状态	191
4-11 有直线律机械特性的电力驱动在静态力矩与速率及行程均有关， 即在 $M_c = f(v, \alpha)$ 时的过渡状态	193
4-12 有直线律机械特性的电力驱动在静态力矩与时间有关时的过渡状态	201
4-13 有串激和复激直流电动机的电力驱动在 $M_c = \text{const}$ 和 $M_c = f(v)$ 时过渡状态	205
4-14 有串激和复激直流电动机的电力驱动在 $M_c = f(\alpha)$ 和 $M_c = f(v, \alpha)$ 时的过渡状态	208
4-15 转动惯量为变数时过渡状态的计算	210
4-16 分激直流电动机电力驱动在 $M_c = \text{const}$ 时的过渡状态	213
4-17 他激电动机在突加负载下的动态转速降以及减小它的方法	224
4-18 串激及复激电动机的驱动装置的电气-机械过渡状态	228
4-19 激磁绕组电路中的过渡过程。发电机与电动机激磁电流变化的加快	230
4-20 发电机-电动机系统的过渡状态	240
4-21 发电机-电动机系统中电动机的起动过程	245
4-22 发电机-电动机系统中电动机的制动和逆转	249
4-23 二次激磁发电机-电动机系统中的过渡状态	253
4-24 电力驱动参数的实验测定	258
4-25 研究直流电机激磁电路中过渡状态的图解-解析法	261
4-26 研究直流电力驱动的电气机械过渡状态的图解-解析法	267
4-27 异步电动机电力驱动的过渡状态	275
4-28 异步电动机电力驱动在 $M_c = 0$ 时的过渡状态的解析研究	287
4-29 异步电动机电力驱动在 $M_c = \text{const}$ 时的过渡状态的解析研究	291
4-30 异步电动机的定子和转子电路中有过渡状态时的能量损耗	295
4-31 异步电动机电力驱动的能耗制动	298
4-32 同步电动机电力驱动的过渡状态	309
4-33 与静负载有关的同步电动机驱动的过渡状态	311
4-34 同步电动机的起动	316
4-35 同步电动机的制动	312

参考文献

第一章 緒論

1-1. 关于电力驅动及其自动化的概念

保証技术的經常进步乃是提高劳动生产率和扩大社会主义生产的基本条件。

在創造共产主义的物质生产基础时，重工业佔有首要的地位。它成为整个国民经济的坚实基础和苏联人民幸福生活不断上升的源泉。

机器制造业乃是工业的心臟。技术的繼續进步、各部門工業的技术水平的提高、生产过程的机械化和自动化、劳动生产率的不断提高和国民经济所有各部門的繼續增長等問題的順利解决，在很大程度上与机器制造业的發展速度有关。

生产机构及其所完成的工艺过程的技术完善程度，在很大程度上决定于相应的电力驅动的完善程度以及电力驅动在电学原理上自动化的程度。

自动化的电力驅动乃是一整套电机、电器和控制系統的綜合设备，在这套设备里一些电动机在結構上与执行机构联成一个整体。电力驅动的个别單元的参数應該选择得使所要求的生产过程保証能够实现。

自动化电力驅动的發展經過了几个阶段。

电力驅动的初始阶段的特点是改善它的組成單元：电动机、电动机的控制器械以及电动机和执行机构間的傳动环节。这一阶段的主要趋势是分解电力驅动，使一个集中的电力驅动为好几个单独的所代替，这些单独的电力驅动的特性能最完滿地符合生产机构的要求。

这种分解使工具机分成了好几个部件，每一部件由单独的电动机驅动。这一措施的結果是电动机接近了生产机器的工作机构。这时候，个别电动机与机器的各相应工作部件的接近，或甚至兩者的直接联結，使得工具机的傳动系統大为简化。当然，把組合驅动或甚至单独驅动改成多电动机驅动固然简化了工作机的傳动系統，但它使电力驅动本身及其控制系統大大复杂了。

由有机地与相应的电力驅动联系的生产机器的各个工作部件組成的綜合设备，并且是被一个共同的生产过程所联合在一起的，称为电气化机组。

电力驅动的自动化过程可分为两个基本阶段。第一个阶段是創造狭义的自动控制设备，那就是用来完成控制电力驅动本身的各种操作的設備。这些操作包括使机器起动、制动、反向（逆轉）、改变速度和在行程的某一定点上停止。

第二个阶段是設計和制造自动控制和自动調整的設備，这种設備的任务是要保証工作过程按一定的条件进行：使工作机器各个环节的速度或速度的比例維持不变或按給定的曲綫变化，保証工艺过程有所要求的状态。同时应当指出，初始阶段的自动控制系統基本上是接触器-繼电器系統。与此相反，現在推行得很广的控制系統是連續控制系統，在这些系統里广泛地使用着离子-电子器械、磁器械和其他無接触器械。在全部自动化的自动控制系统中，使用着自动檢查、保护和信号裝置。

1 2 苏联电力驱动的發展簡史

1834年B. C. 亞可比在旋轉運動的原理上創造了第一台直流電動機，并在1838年利用這台電動機來行駛小艇，這件事標註了電力驅動第一個工業樣品的創始日期。由於這台電動機本身不夠完善，並且供電給電動機的原電池組很不經濟，這個驅動系統在當時未能獲得實際應用。亞可比在創造電力驅動方面的工作以後由許多發明家所繼承。

儘管俄國科學家和發明家在發展電工技術和電力驅動方面做了堅毅的探索和成功的工作，但他們的理想在資本主義俄國的條件下未能廣泛實現。

在年輕的蘇維埃共和國內，國民經濟电气化的問題就完全以新的方式被提了出来。深刻的馬克思主義分析使弗·伊·列寧得出這樣的結論：作為社會主義物質基礎的大机器工業的創建，可以體現為在先進技術及全國电气化的基础上把全部國民經濟加以社會主義組織和技術改造。列寧曾經指示，深遠而全面的电气化乃是決定恢復被破壞了的經濟和保證國家生產力繼續發展的主要環節。在列寧的直接領導下編制了全俄电气化計劃(ГОЭЛРО計劃)，即國民經濟电气化的計劃。這個計劃被公正地稱為“黨的第二綱領”，它決定了15年以上的全部國民經濟的發展方向。

工業的重建，國家工業化的第一個以及以後幾個五年計劃的實現，使得許許多多大企業在工業的各不同部門里建立了起來。

电器工業的主导工厂，像以謝·米·基羅夫命名的“電力”(Электросила)工厂，哈尔科夫电气机械工厂(ХЭМЗ)和以基羅夫命名的“迭納莫”(Динамо)工厂，不仅制造出各種型式的電動機，還生產了冶金工業、造紙機所用的電力驅動，矿山電力設備以及許多其他複雜生產所用的電力設備。

由於設計專門化電力驅動的需要急速增加，於是設立了一系列的設計和科學研究機關：國立冶金工廠設計院(Гипромез)、國立煤礦設計院(Гипрошахт)、國立化學工廠設計院(Гипрохим)、國立重工業电气化設計院(ГПИ Тяжпромэлектропроект)、“電力驅動”中央設計局(ЦКБ “Электропривод”)、金屬切削机床實驗科學研究所(ЭНИМС)、中央重型機器製造科學研究所(ЦНИИТМАШ)以及其他機關。

蘇聯科學院自動控制和遠程操縱研究所、各工業部門的科學研究機關和高等學校——莫斯科动力學院、列寧格勒工學院、列寧格勒电工學院以及其他一些工學院——都在電力驅動及其自動化的領域作了廣泛的科學研究工作。

蘇聯科學家把電力驅動當作應用科學的一個專業部門。蘇聯科學家創立電力驅動理論和改善這一理論的工作成為電力驅動在蘇聯不斷發展與改善的源泉。1880年發表的Д. А. 拉契諾夫的著作“電氣機械功”是電力驅動理論的最早著作。在拉契諾夫著作的基礎上，列寧格勒电工學院的教授П. Д. 伏伊納羅夫斯基在1900年和В. В. 德米特里耶夫在1903年出版了“機械能的電傳輸及其分配”，而在1915年德米特里耶夫又出版了“在工廠里機械能的電分配”教科書。

以現代意義理解的電力驅動理論並使之成為獨立課程是在С. А. 林開維奇的著作(1925、1933和1938年)和В. К. 波波夫的著作中(1932、1939、1945、1951年)形成的。

在 B. C. 庫列巴金、 P. L. 阿羅諾夫、 D. П. 莫羅佐夫、 A. T. 郭洛宛、 M. Г. 奇利金和其他諸人的著作中，電力驅動理論獲得了進一步的發展。 B. K. 波波夫、 D. B. 华西利耶夫、 И. Н. 卡桑采夫、 B. A. 布爾加可夫、 A. Б. 車柳斯金、 E. A. 羅賓曼、 A. Я. 列爾納、 C. H. 魏雪涅夫斯基和其他諸人的著作發展了電力驅動自動控制的理論。

各類生產機構的電力驅動問題在下列諸人的著作中得到闡明： D. П. 莫羅佐夫、 H. П. 庫尼茨基、 H. A. 齊生科（軋鋼機）、 B. И. 伊林斯基（高爐車間用機構）、 A. T. 郭洛宛（鍛壓機）、 C. A. 帕萊斯、 T. H. 索可洛夫（金屬切削机床）、 H. П. 庫尼茨基、 A. B. 法切耶夫（起重運輸機構）、 K. B. 烏爾諾夫（印刷機器）、 П. К. 庫利可夫斯基（造紙及紡織工業）、 Ф. Н. 希克利亞爾斯基、 П. В. 烏晏斯基、 B. С. 土林（礦山機械電力驅動）、 B. И. 波隆斯基、 B. M. 阿列克謝耶夫、 H. M. 霍米亞可夫（船舶用電力驅動）。

在五年計劃的年代中，蘇聯國民經濟大規模地由新技術裝備起來了。重工業的主導部門——機器製造業——的發展使得所有工業部門中的繁重勞動的機械化水平得以提高。但是按照蘇共第二十次黨代表大會決議所提出的任務來看，生產過程的機械化和自動化所達到的水平還不能算是令人滿意的。

蘇共第二十次代表大會關於第六個五年計劃的指令規定，在所有工業部門中應大規模地實現主要工作和輔助工作的綜合機械化，大規模地掌握生產過程的自動化，從個別機組和個別工序的自動化過渡到整個車間和工藝過程的自動化並且逐漸建立全部自動化的企業。

擺在蘇聯科學家和工程師們面前的任務是要在利用物理學、電子學和無線電工學的基礎上來設計出新的自動控制工具和系統。這使我們能保證自動化工作有所需的發展，並且對生產的綜合自動化開辟寬廣的道路。

在最近幾個五年計劃內許多在自動化電力驅動方面的專家所積累的豐富的實際經驗，就是他們能夠順利地解決國家交給他們的任務的保證。

第二章 电动机的机械特性

2-1 概論

正確地選擇電動機，是生產機器有效而經濟地工作的必要條件。電力驅動應該保證執行機構的起動、接受負載、卸除負載、制動等靜力（穩定）狀態及過渡狀態的順利進行。這些過程的進行首先決定於電動機轉速同它所發揮的轉矩之間的關係的特徵。

電動機的 $n = f(M)$ 或 $\omega = \varphi(M)$ 的關係稱為電動機的機械特性。為執行機構選擇電動機時，這些關係是主要判據之一，並且對於評價電動機的机电性能來說，具有重要的意義。

電動機的機械特性，從一方面講，決定於電動機本身的机电性能，從另一方面講，決定於接入電動機電路中的電阻的大小及其聯接的方法。

机械特性有固有(自然)特性和人为特性之分。在饋电網的額定參數①、正常的線路聯接并且电动机电路內沒有附加电阻的条件下，电动机的轉速與其轉矩之間的关系，也就是 $n = f(M)$ 或 $\omega = \varphi(M)$ 的关系，称为固有机械特性。比如說，直流他激电动机的固有特性就是电压和磁通有額定值而电枢电路內沒有附加电阻时的 $n = f(M)$ 的关系。

电动机的人为特性是在电动机由电压不同于額定值的網路饋电、电动机电路內有附加电阻或电动机按特殊的接線圖联接时的 $n = f(M)$ 的关系。

有时候把直流电动机的 $n = \psi(I)$ 或 $\omega = \psi(I)$ 的关系称为該电动机的机械特性。

机械特性按电动机轉速隨負載力矩之增加而变化的程度来区分。

特性評价的判据是特性的硬度，它等于：

$$\alpha = \frac{\Delta M}{\Delta n},$$

或用特性的斜度作判据，它等于：

$$\beta = \frac{\Delta n}{\Delta M}.$$

如要决定机械特性硬度及其斜度的相對值，则必須取所研究的特性曲線段內的轉速降及相应的轉矩变化的百分比或标么值。

所有的机械特性可以分类如下：

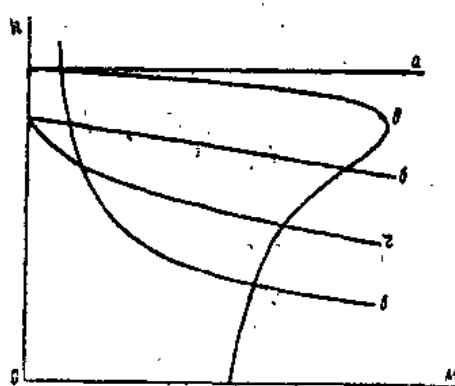


圖 2-1 电动机机械特性的不同形态

- a—同步电动机的绝对硬的特性；
- b—直流他激电动机的硬特性；
- c—直流串激电动机的软特性；
- d—直流复激电动机的软特性；
- e—异步特性。

1. 轉速严格恒定的絕對硬的机械特性，例如同步电动机的机械特性（圖2-1,a）；其硬度为：

$$\alpha = \frac{\Delta M}{\Delta n} = \infty.$$

2. 轉矩增加时轉速降比較小的硬特性：它的硬度約為 $\alpha = 40-10$ 。属于这一类的有直流他激电动机的特性，異步电动机在其直線部分的特性以及某几种整流子电动机的特性（圖2-1, b）。

3. 轉矩增大时轉速降比較大的軟特性。它的硬度約為 $\alpha = 10$ 以及 10 以下。直流串激电动机、某几种整流子交流电动机、电枢电路內有大电阻的直流他激电动机、副电路內有大的附加电阻的滑环式異步电动机都有这样的特性（圖2-1, c）。

从同步轉速到接近于临界轉差率的那一段異步特性，具有 $\alpha = 92-90$ 的硬度；从临

● 即額定电压及频率。——譯者

界轉差率這一點到停止並向負轉速的方面延伸的這段特性是很有大轉速降的軟特性(圖2-1,d)。

特性的選擇決定於生產機構的要求。舉例說，鋼帶的連續冷軋、造紙生產、滾筒印刷等要求很硬的特性。與此相反，某些起重运输機若有軟特性的驅動，將以更高的生產率工作。

2-2 相對單位

在計算不同種類的電力驅動時，往往需要比較以額定數據不同的電動機裝備起來的驅動方案。將所得結果加以直接比較不能作為被比較的方案的優缺點的客觀判據。舉例說，在研究兩台直流電動機的起動過程時，如果這兩台電動機有不同的額定電壓，那麼比較一下這兩台電動機的起動電流，我們還不能作出結論哪一台電動機的起動條件更輕易些。我們也不能對各級的電阻大小作出結論。為了在類似情況下消除這種不確定性，計算不宜于用絕對單位(歐姆、安培等等)，而宜于用相對抽象單位來計算，或用百分數來計算。前者又稱為標么值。應用相對單位就不需要從一種單位轉到另一種單位，從一些測量轉到另一些測量，並且使我們能借助於專門繪制的萬用曲線直接決定為了獲得原有的特性所需要的電動機參數。

為了以相對單位表示某一樣量，必須把它的絕對值除以採用作單位的同類的量。

基本單位一般可以任意選擇，但通常是用下列各量：

$U_{n.o.r}$ ——額定電壓；

$I_{n.o.r}$ ——額定電流；

$M_{n.o.r}$ ——額定轉矩；

$r_{n.o.r}$ ——額定電阻，它等於電動機額定電壓被額定電流所除的商數；

$n_{n.o.r}$ ——以轉/分計的額定轉速。

對於同步電動機和異步電動機，採取同步轉速 n_0 作為基本單位。與此類似，對於直流他激電動機來說， n_0 是理想空載轉速，在這轉速下，電動機的感應電動勢等於網路電壓。

在以後的敘述中，以標么值表示的量將用小寫希臘字母來代表，以百分數表示的量將用同樣的希臘字母來代表，不過它們後面帶有%記號。這樣一來，以標么值計的電壓將為：

$$v = \frac{U}{U_{n.o.r}}; \quad (2-1)$$

$$\text{以百分數計的電壓將為: } v\% = \frac{U}{U_{n.o.r}} \times 100\%. \quad (2-1')$$

在異步電動機中，最好是把兩個額定電壓加以區分：一個是定子的線電壓，另一個是轉子靜止時的轉子電動勢。

$$\text{電流以標么值計是 } i = \frac{I}{I_{n.o.r}}, \quad (2-2)$$

$$\text{或以百分數計 } \rho\% = -\frac{I}{I_{NOM}} \times 100\%. \quad (2-2')$$

按照上面所給的定义，額定电阻是

$$r_{NOM} = \frac{U_{NOM}}{I_{NOM}}. \quad (2-3)$$

$$\text{电阻以标么值計是 } \rho = \frac{r}{r_{NOM}}, \quad (2-4)$$

$$\text{或以百分數計 } \rho\% = \frac{r}{r_{NOM}} \times 100\%. \quad (2-4')$$

电阻的标么值和百分值可从相应的电流值和电压值来求得：

$$\rho = \frac{r}{r_{NOM}} = \frac{\frac{U}{I}}{\frac{U_{NOM}}{I_{NOM}}} = \frac{v}{v_{NOM}} \quad \text{或} \quad \rho\% = \frac{v\%}{v_{NOM}\%} \times 100\%. \quad (2-5)$$

異步电动机的轉子电阻应理解为轉子电路每相的电阻，这个电阻由轉子繞組本身的电阻和一个外电阻所組成，其总值使轉子电流在轉子靜止而定子繞組接在額定频率和額定电压下时具有額定值。轉子繞組联成星形时的額定阻抗，或联成三角形而折算成星形的等效額定阻抗將为：

$$z_{2NOM} = \frac{E_{2NOM}}{\sqrt{3} I_{2NOM}}, \quad (2-6)$$

其中 E_{2NOM} ——靜止轉子的电动势，而

I_{2NOM} ——轉子的額定电流。

異步电动机通常有 $x_2 \ll z_{2NOM}$ ；其中 M T 系的电动机的 $x_2 \approx (0.1 - 0.05) z_{2NOM}$ 。因此实际上可以算作 $z_{2NOM} \approx z_{2NOM}$ 或

$$z_{2NOM} = \frac{E_{2NOM}}{\sqrt{3} I_{2NOM}} = \frac{E_{2NOM}}{1.73 I_{2NOM}}. \quad (2-7)$$

如果繞組是联成三角形的，其每相电阻可从下式求到：

$$r_{2\Delta} = \frac{1}{3} r_{2NOM}.$$

$$\text{电动机轉矩以标么值計等子: } \mu = \frac{M}{M_{NOM}} \quad (2-8)$$

$$\text{或以百分數計 } \mu\% = \frac{M}{M_{NOM}} \times 100\%. \quad (2-8')$$

轉速以相对單位計等子:

$$n = \frac{n}{n_0}; \quad (2-9)$$

$$\gamma\% = \frac{n}{n_0} \times 100\%. \quad (2-9')$$

对于直流串激电动机和复激电动机来说，我們用額定轉速 n_{max} 作为基本單位：

$$\gamma = \frac{n}{n_{max}}; \quad (2-9)$$

$$\gamma\% = \frac{n}{n_{max}} \times 100\%. \quad (2-9')$$

異步电动机的轉差率可以通过以相对單位計的轉速来表示：

$$s = \frac{n_0 - n}{n_0} = 1 - \gamma \quad (2-10)$$

或 $s\% = 100 - \gamma\%.$ $(2-10')$

2.3 直流电动机的机械特性

上面已經指出，电动机的特性應該按照生产机构的要求来選擇。如果已有型式的电动机的固有特性不能滿足所提出的要求，那么只能改变电动机繞組的联接法、电阻和外施电压来获得人为特性。为了改变轉速，为了起动和制动，我們也必須求助于人为的接線圖。

直流电动机的机械特性 $\eta = f(M)$ 的数学表达式可借助于旋转电动机电枢电路里电动势平衡方程式和电动机的电磁轉矩的表达式推导出来：

$$U = E + I_a r \quad (2-11)$$

和 $M = \frac{PN}{2\pi \times 9.81 a} \Phi I_a [\text{公斤-公尺}]. \quad (2-12)$

直流电机的电动势与磁通和电枢轉速成正比：

$$E = \frac{PN}{60a} n [\text{伏}]. \quad (2-13)$$

在(2-12)和(2-13)这两个表达式中，

P ——电动机的磁極对数; n ——电枢轉速以轉/分計;

N ——电枢繞組的有效导体数; I_a ——电枢电流以安培計;

a ——电枢繞組的并联分支数; r ——电枢电路的电阻以歐姆計。

Φ ——一个極的磁通以韋伯計;

为了简化表达式(2-12)和(2-13)，我們可用下列兩系数来代替式子里的常数，这些常数决定于电机的構造参数：

$$c_E = \frac{PN}{60a} \text{ 和 } c_M = \frac{1}{2\pi \times 9.81 a}. \quad (2-14)$$

把系数 c_E 和 c_M 加以比較，我們可以看到

$$\frac{c_E}{c_M} = 1.03. \quad (2-14')$$

把系数 c_E 和 c_M 分别代入(2-13)和(2-12)則得：

$$M = c_M \Phi I_a; \quad (2-12')$$

$$E = c_E \Phi n. \quad (2-13')$$

从表达式(2-13')可以推論，直流电动机的轉速与其电动势成正比而与磁通值成反比：

$$n = \frac{E}{c_E \Phi} \quad (2-15)$$

由于在負載下运转的电动机的电动势不能直接量測，較适当的办法是通过施加于电动机的电压和电枢电路內的电压降表达出来

$$E = U - I_s r$$

把电动势值代入电动机轉速的表达式(2-15)中，并以轉矩来代替电枢电流 $I_s = \frac{M}{c_M \Phi}$ ，則得直流电动机机械特性的通用方程式：

$$n = \frac{U}{c_E \Phi} - \frac{r}{c_E \Phi c_M \Phi} M \quad (2-16)$$

2-4 他激直流电动机在 $\Phi = \text{CONST}$ 时的机械特性

在导出机械特性的解析表达式时，我們將作如下的假定：饋电網路的电压当作是恒定的并等于額定值；电枢反应的影响不予考慮，假定电机是有換向極和补偿繞組的；也就是把磁通当作是恒定的；繞組溫度当作是不变的因而繞組电阻算作是恒定的。

他激电动机的接綫圖見圖2-2所示。

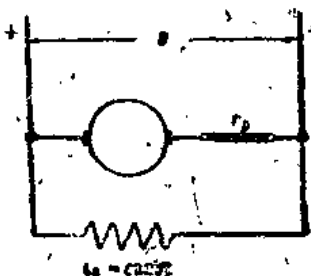


圖 2-2 他激电动机的接綫圖

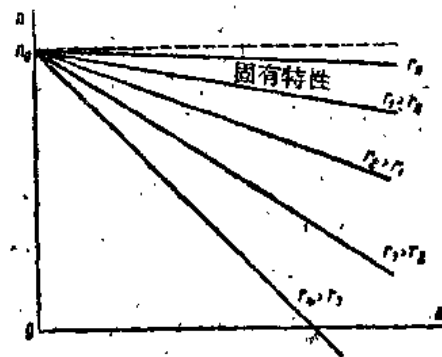


圖 2-3 他激直流电动机的机械特性曲線

从通用方程式(2-16)可知，在 $\Phi = \text{const}$ 的条件下，机械特性在 n 和 M 的坐标系中乃是一根直线：

$$n = n_0 - \frac{r_s + r_p}{c_E \Phi c_M \Phi} M, \quad (2-17)$$

其中 $n_0 = \frac{U}{c_E \Phi}$ ；

r_p ——变阻器电阻。

这根直线在縱坐标軸上截取的一段等於电动机在其电动势与外施电压相等时的轉速。轉速 n_0 称为理想空载轉速。在理論上講，当电动机空載而其电磁轉矩等于零时，是能有这样的轉速的。在实际上講，如果电动机軸上有外施轉矩作用來克服不可避免的阻力（摩擦力矩、通風損耗和鋼中損耗），那末，理想空載轉速是可以获得的。

特性的角系数，即直线与横轴之间的倾斜角的正切

$$b = \frac{r_s + r_p}{c_B \Phi c_M \Phi}$$

决定于电动机电枢电路的电阻和磁通的大小。把 n_0 和 b 引入表达式(2-16)，则得机械特性的方程式如下：

$$n = n_0 - bM \quad (2-18)$$

电枢电路内电阻的增加会提高直线的角系数而使特性变得更软些。

他激电动机电枢电路内有不同电阻时的机械特性如图2-3所示。最上面的特性对应于电枢电路内没有附加电阻，它称为固有特性；其余带附加电阻时的特性称为人为特性。

从表达式(2-16)和(2-17)看得出，不论电枢电路内有多大的电阻，所有的特性曲线都在坐标 $n=n_0$ 和 $M=0$ 的一点相交。

机械特性的表达式仅对电磁转矩是正确的。由于轴承摩擦、通风损耗和钢中损耗必须克服，电动机轴上的转矩在电动机状态下将永远小于电磁转矩，也就是：

$$M_e = M_{s,n} - M_{mp} - M_{fan} - M_{cm}.$$

与此相反，在制动状态下，电动机轴上的转矩由于上述损耗而将比电磁转矩大。

这样看来，当旋转方向改变时，关系式 $n=f(M_e)$ 将有一次断裂。在图2-4中断着机械特性曲线 $n=f(M_e)$ 和 $n=f(M_{s,n})$ 。

为了消除上述的不准确性，建议利用电磁转矩来作计算，而把轴承摩擦、风损和钢损等力矩当作电动机轴上静力负载的附加部分来看。力矩 $M_{mp}+M_{fan}+M_{cm}$ 的和数可以根据电动机的额定数据来决定。

由于上述诸力矩总共仅为电动机额定转矩的2至5%，所以实际上在许多情况下可以把它们略去不计而假定 $M_{s,n}=M_e$ 。

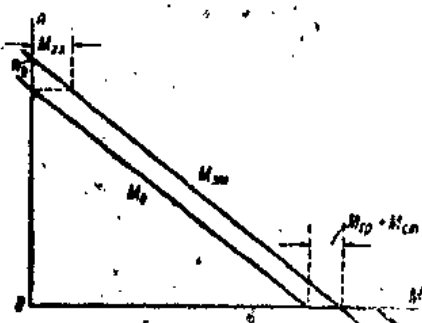


图2-4 损耗对于机械特性曲线形状的影响

要画出他激电动机的机械特性曲线，只需知道它的两点就够。这两点以利用理想空载点和额定转矩点为宜。为了求出这两点，必须有电动机的额定（铭牌）数据并且知道电动机电枢绕组在75°C的热状态下的电阻。

根据这些数据就可决定电动机在有额定转速和额定电枢电流时的电动势：

$$E_{n_{0,M}} = U - I_{n_{0,M}} r_s = c_B \Phi n_{0,M} \quad (2-19)$$

从(2-19)式又得：

$$c_B \Phi = \frac{U - I_{n_{0,M}} r_s}{n_{0,M}} \quad (2-19')$$

借表达式(2-17)之助可以建立 n_0 和 $n_{0,M}$ 之间的关系并且求出理想空载转速：

$$\frac{n_0}{n_{0,M}} = \frac{U}{E_{n_{0,M}}}$$

$$\text{或} \quad n_0 = n_{N.O.M} - \frac{U}{E_{N.O.M}} \quad (2-20)$$

作为机械特性曲线的第二点，我们可以利用对应于额定转速和额定电磁转矩的一点。为此，根据转速 n_0 可求得 $c_M\Phi$ 之值，然后借(2-14')式之助求出

$$c_M\Phi = \frac{c_M\Phi}{1.03} = \frac{U_0}{1.03n_0}$$

以后又求出 $M_{N.O.M} = c_M\Phi I_{N.O.M}$

在利用电动机轴上的额定转矩

$$M_{N.O.M} = \frac{P_{N.O.M}}{\omega_{N.O.M}} = 0.975 \frac{P_{N.O.M}}{n_{N.O.M}} [\text{公斤}\cdot\text{公尺}]$$

(功率以瓦特计)时，将容许上面所讲到过的不准确性。

直流电动机的产品目录中是没有关于绕组电阻的数据的，因此我们不得不用一种近似法来求这个数据。

电枢电路谱绕组——包括电枢、换向极、串激绕组——的电阻可以根据电阻(以标么值计)与额定功率之间的关系曲线来决定(参考文献2-1)。

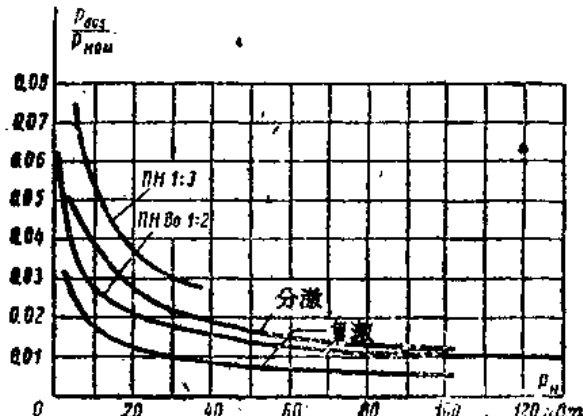


图 2-5 MΠ型和ΠH型直流电动机绕组在温度60°时的电阻

1—ΠH型电动机的电枢电阻；2—ΠH型电动机的电枢绕组和额定绕组的电阻；3—MΠ型他激、串激和复激电动机的电枢绕组的电阻；4—MΠ型串激电动机激磁绕组的电阻；5—MΠ型复激电动机串联绕组的电阻。

图2-5中所示的就是起重机和冶金工业所用的MΠ型他激、串激和复激电动机以及一系列的长期运转用的ΠH型他激电动机的这种曲线。借图2-5的曲线之助可以找到相应型号和功率的电动机的标么值电阻；以额定电阻乘所得数值则得绕组电阻的欧姆值。

整流子和电刷之间的接触电阻是根据这一接触在电动机额定电流下引起2伏的电压降而决定的。对于额定电压为220伏的电动机，这相当于 $r_m \approx 0.01r_{N.O.M}$ 。

如果没有 $\rho = f(P_{N.O.M})$ 的曲线，电动机电枢电路的电阻可以近似地根据铜损来求得。从电机这门课程已知，当负载相当于最大效率时，变动的损耗等于恒定损耗。电机的最大效率 η_{max} 通常发生在 $0.75P_{N.O.M}$ 和 $P_{N.O.M}$ 之间。由于在最大值附近效率变化得很少，所以可以近似地算作 η_{max} 发生在 $P_{N.O.M}$ 的时候。额定负载下的全部损耗等于从电力网路取得的功率与电动机轴上的额定功率之差：

$$\Delta P_{n_{0,n}} = U_{n_{0,n}} I_{n_{0,n}} - P_{n_{0,n}}$$

在这种情况下额定铜损耗为:

$$\Delta P_{n_{0,n}} = \frac{\Delta P_{n_{0,n}}}{2} = \frac{U_{n_{0,n}} I_{n_{0,n}} - P_{n_{0,n}}}{2} = I_{n_{0,n}}^2 r_n,$$

由此, 电枢绕组和换向极的电阻将等于:

$$r_{n_{0,n}} = \frac{U_{n_{0,n}} I_{n_{0,n}} - P_{n_{0,n}}}{2 I_{n_{0,n}}^2} [\text{欧}]. \quad (2-21)$$

类似的计算也可借助于效率的额定值来作, 其公式如下:

$$r_{n_{0,n}} = 0.5(1 - \eta_{n_{0,n}}) r_{n_{0,n}} [\text{欧}]. \quad (2-22)$$

如果已知 n_0 , 电枢电路的电阻即可借表达式(2-20)式来求得, 那就是:

$$\frac{n_0}{n_{n_{0,n}}} = \frac{U}{E_{n_{0,n}}} = \frac{U}{U - I_{n_{0,n}} r_d},$$

由此得

$$r_d = \frac{U}{I_{n_{0,n}}} - \frac{U}{I_{n_{0,n}}} \cdot \frac{n_{n_{0,n}}}{n_0}$$

或

$$r_d = r_{n_{0,n}} \left(1 - \frac{n_{n_{0,n}}}{n_0} \right). \quad (2-23)$$

对于 M 型串激和复激电动机来说, 各个绕组的电阻与整个电枢电路的电阻的比可采用下列的一些近似值:

	串 激	复 激
电枢绕组	$r_n = 0.5 r_d$	$r_n = 0.5 r_d$
换向极	$r_{d,n} = 0.23 r_d$	$r_{d,n} = 0.32 r_d$
串联绕组	$r_n = 0.27 r_d$	$r_n = 0.18 r_d$

a) 起动电阻的计算

他激电动机的机械特性曲线使各级起动电阻的计算成为可能。静止的电动机是不允许直接与电力线路接通的, 因为电枢绕组的电阻比较小, 直接接通时电流可能达到额定值的10—20倍的数值, 这会引起整流子的环火而损坏电动机。

在转速以0到 $n_{n_{0,n}}$ 的范围内, Π H型他激电动机按整流条件能容许不超过 $2.5 I_{n_{0,n}}$ 的电流。用电阻与电枢串联可以把最大电流限制到任何给定的数值

$$I_{n_{0,n}} = \frac{U}{r_n + r_p},$$

并且得到需要的转矩。

当转速逐渐升高时, 电动机的电动势也随之增加而电流则相应地减小:

$$I_n = \frac{U - E}{r_d + r_p}.$$

转矩也随着电流同时减小, 因而也减低了加速的强度。为了把驱动的加速度维持恒定, 可以减少外电阻 r_p , 由此, 在一定的电动势之下电流就大了起来并且使决定加速度的转矩也加大了。应当指出, 起动电阻的级数越多, 驱动装置的加速过程就越平滑。但是, 从减少需用器械的数量及其投资的观点来看, 并且为了提高工作的可靠性, 最好是尽量减少起动的级数。